



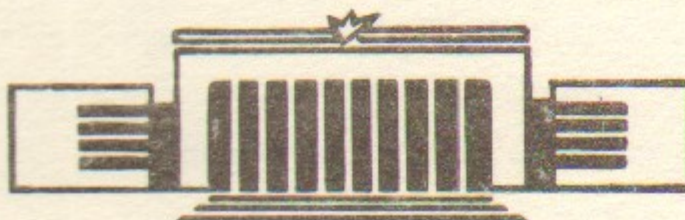
ИНСТИТУТ ЯДЕРНОЙ ФИЗИКИ СО АН СССР

13

И.А. Котельников, Г.В. Росляков  
Д.Д. Рютов

СТАБИЛИЗАЦИЯ ЖЕЛОБКОВЫХ ВОЗМУЩЕНИЙ  
В ОСЕСИММЕТРИЧНОЙ ОТКРЫТОЙ ЛОВУШКЕ  
С ПЛЕЩУЩИМИСЯ ИОНАМИ

ПРЕПРИНТ 86-31



НОВОСИБИРСК

авторы: Д.Д. Бондарев, Б.Ч. Ахметзянов, А.Н.

Академик химической науки  
Заслуженный деятель науки и техники РСФСР  
И.А. Красильниковподписано  
запись

## I. ВВЕДЕНИЕ

Известно, что изотропная плазма в осесимметричном пробо-

тре неустойчива относительно желобковых колебаний, так как кривизна силовых линий в среднем имеет неблагоприятный (для стабилизации) знак. МГД-устойчивость плазмы в таком проботре не можно обеспечить, если ввести в систему группу плашущихся ионов и подобрать профиль магнитного поля таким образом, чтобы точка остановки и (соответственно) пик давления этих ионов были расположены в области благоприятной кривизны силовых линий. Указанный метод стабилизации желобковых колебаний с помощью плашущихся ионов сам по себе достаточно очевиден, однако проведенные ранее оценки не выявили всех его резервов. В работе [1] было найдено, что для стабилизации системы требуется сформировать популяцию плашущихся ионов с чрезвычайно малым угловым разбросом — таким, какой имеют ионы гелия с энергией  $T_e = 50$  МэВ при инжекции в плазму с температурой электронов  $T_e = 50$  кэВ (ионы со столь большой энергией рассеиваются значительно медленнее, чем тормозятся на электронах).

В настоящем сообщении мы покажем, что за счет оптимизации профиля магнитного поля возможность МГД-стабилизации с помощью плашущихся ионов можно сделать более реальной.

## 2. УСЛОВИЕ УСТОЙЧИВОСТИ

Чтобы выяснить, устойчива та или иная система относительно желобковых возмущений, в параксиальном приближении достаточно рассмотреть случай, когда давление плазмы постоянно по её сечению. Тогда, в соответствии с критерием Розенблота-Лонгмайра [2], аксиально-симметричная конфигурация устойчива, если

$$I = \int_{-L}^L (P_1 + P_{\parallel}) \alpha^3 \frac{d^2 \alpha}{dz^2} dz > 0, \quad (1)$$

где  $\alpha = \alpha(z)$  — уравнение граничной силовой линии,  $d^2 \alpha / dz^2$  — её кривизна. Поперечная  $P_1$  и продольная  $P_{\parallel}$  компоненты давления являются функциями индукции магнитного поля  $B$  (см., например, [3]), которая в параксиальном приближении пропорциональна  $\alpha^{-2}$ ; поэтому можно считать, что

$P_{\perp,\parallel} = P_{\perp,\parallel}(a)$ . Интегрирование в (1) ведется вдоль оси симметрии ловушки  $z$  по области, занятой плазмой. На границе  $z = \pm L$  этой области функции  $P_{\perp}(a)$  и  $P_{\parallel}(a)$  одновременно обращаются в нуль, а магнитное поле, которое без ограничения общности можно считать симметричным относительно плоскости  $z = 0$ , достигает максимума.

Выполнив в (1) интегрирование по частям:

$$I = - \int_{-L}^L dz \left( \frac{da}{dz} \right)^2 \frac{d}{da} [a^3 (P_{\perp} + P_{\parallel})], \quad (2)$$

нетрудно установить, что если функция

$$g(a) = \frac{d}{da} [a^3 (P_{\perp} + P_{\parallel})] \quad (3)$$

знакоопределенна и, как в случае изотропной плазмы, положительна, то  $I < 0$ . Система может быть устойчивой,  $I > 0$ , только если функция  $g(a)$  на некотором интервале отрицательна. В этом случае на графике функции  $(P_{\perp} + P_{\parallel}) Q^3$  появляется локальный минимум (рис. I). Именно такая возможность реализуется, если создать популяцию плашущихся ионов с достаточно малым угловым разбросом. Точки  $a = a_1$  и  $a = a_2$ , где  $g(a) = 0$ , выделяют на силовой линии  $a = a(z)$  участок  $a_1 < a(z) < a_2$ , который вносит стабилизирующий (положительный) вклад в интеграл (2). Сокращая длину этого участка  $\ell = z_2 - z_1$ , (где  $a(z_{1,2}) = a_{1,2}$ ), можно обеспечить выполнение критерия устойчивости  $I > 0$  даже при очень малом (по абсолютной величине) отрицательном значении минимума  $g(a)$ . Поэтому вопрос о возможности МГД-стабилизации с помощью плашущихся ионов сводится к выяснению условий, при которых

$$\min_a [g(a)] < 0. \quad (4)$$

### 3. ФУНКЦИЯ РАСПРЕДЕЛЕНИЯ БЫСТРЫХ ИОНОВ

Плашущиеся ионы обычно формируются при нагреве плазмы с помощью инжекции моноэнергетических частиц с очень малым начальным угловым разбросом и последующего их торможения на электронах, которое из-за большой энергии  $E_0$  инжектирован-

ных частиц происходит значительно быстрее, чем торможение и рассеяние на ионах плазмы. Считая для простоты, что большая часть объема плазмы приходится на длинную однородную центральную часть ловушки, и проводя вычисления, аналогичные тем, которые были проделаны в работе [4] (см. также [1]) при определении плотности плашущихся ионов, находим, что

$$P_{\perp} + P_{\parallel} = 2P_0 + \frac{Q_0 \tau_{ei} R^{1/2} (1 - \frac{R}{2} \sin^2 \theta_0) \cos \theta_0}{V \sqrt{\Delta \theta_0 \sin 2\theta_0}} G(y) \quad (5)$$

где  $P_0$  — давление изотропной компоненты плазмы;

$$R = B/B_{min} = a^2(0)/a^2(z)$$

— текущее пробочное отношение;  $\theta_0$  и  $Q_0$  — угол (отсчитываемый от оси системы) и мощность инжекции;  $V$  — объем плазмы;

$$\tau_{ei} = \frac{3}{4\sqrt{2\pi}} \frac{M}{\sqrt{m_e}} \frac{T_e^{3/2}}{Z^2 \Lambda e^4 n}$$

— время торможения ионов с зарядом  $Z$  и с массой  $M$  на электронах;

$$\Delta \theta_0 = \sqrt{\frac{4\tau_{ei}}{3\tau_{ii}}} = \sqrt{\frac{2}{3}} \left( \frac{v_c}{v_0} \right)^{3/2}$$

— характерная ширина углового распределения плашущихся ионов;

$$\tau_{ii} = \frac{M^2 v_0^2}{2\pi \Lambda e^4 n Z^2}$$

— время рассеяния на ионах;  $\Lambda$  — кулоновский логарифм;  $v_0 = (2E_0/M)^{1/2}$  и  $v_c = (3\pi^{1/2} m_e / M)^{1/3} (2T_e/m_e)^{1/2}$  — соответственно, начальная и критическая скорость инжектированных ионов (при  $v = v_c$  скорость их торможения на электронах и ионах плазмы сравниваются);

$$G(y) = \frac{4}{3\sqrt{\pi}} \int_0^{\infty} \frac{dx \cdot x^{5/6}}{(1+x^2)^{5/3}} \int_{-\infty}^y \frac{d\xi e^{-\xi^2}}{\sqrt{xy-\xi}} \quad (6)$$

$$y = (1-R \sin^2 \theta_0) / \Delta \theta_0 R \sin 2\theta_0.$$

Используя (5) и учитывая, что при  $\Delta \theta_0 \ll 1$  пик давления плашущихся ионов расположен вблизи точки  $R = 1/\sin^2 \theta_0$ , условие (4) можно записать в следующем виде:

$$Q_o > \frac{V_p}{\tau_{ei}} \min \left\{ -\frac{3(\Delta \theta_0 \sin 2\theta_0)^{1/2}}{\frac{1}{4}G' + \Delta \theta_0 \cdot \operatorname{ctg} \theta_0 G} \right\}, \quad (7)$$

где минимум правой части неравенства следует искать для тех значений  $y$ , при которых она положительна. Учет второго слагаемого в знаменателе правой части (7), строго говоря, является превышением точности, с которой вычислено давление плашущихся ионов (5), однако он оправдывается наличием численно малого коэффициента  $1/4$  перед первым слагаемым  $G'$ . Считая угол инжекции не слишком малым ( $\theta_0 \gg \Delta \theta_0$ ), но и не очень близким к  $\pi/2$  ( $\pi/2 - \theta_0 \gg \Delta \theta_0$ ), нетрудно показать, что минимум правой части (7) с точностью до малых поправок порядка  $\Delta \theta_0 / \theta_0$  достигается в точке  $y = 0,7$ , где  $G'' = 0$ . Подставляя в (7) значения  $G' = -0,27$  и  $G = 0,96$  в этой точке, найдем минимальную мощность инжекции, при которой плашущиеся ионы стабилизируют желобковые колебания:

$$Q_o = \frac{V_p}{\tau_{ei}} \frac{33,0 \sin^{1/2} 2\theta_0 (v_c/v_o)^{9/4}}{1 - 11,7 \operatorname{ctg} \theta_0 (v_c/v_o)^{3/2}}. \quad (8)$$

Для сравнения (8) с результатами работы [I] (где основные расчеты проведены для инжекции гелия в изотермическую дейтериевую плазму) примем, как и в [I],  $\theta_0 = \arcsin \sqrt{6/7}$  и обезразмерим  $Q_o$  на величину

$$Q_c = \frac{3}{2} \frac{P_o V}{\tau_{ec}} \left\{ \left( \frac{T_i}{T_e} \right)^{3/2} \left( \frac{Z}{2} \right)^2 \left( \frac{4m_h}{M} \right) \left( \frac{m_i}{2m_h} \right)^{1/2} \right\} \lg R, \quad (9)$$

где множитель перед фигурными скобками в пренебрежении амби-полярными эффектами с точностью до численного коэффициента равен потоку энергии плазмы через пробки, комбинация в фигур-

ных скобках равна единице при инжекции гелия в изотермическую дейтериевую плазму,  $m_h$  – масса протона,

$$\tau_{ec} = \tau_{ei} \left( \frac{T_i}{T_e} \right)^{3/2} \frac{(2m_i m_e)^{1/2}}{M} Z^2 \lg R \quad (10)$$

– время рассеяния ионов с единичным зарядом и с массой  $m_i$  в конус потерь. Отношение  $Q_o/Q_c$  есть:

$$\frac{Q_o}{Q_c} = \frac{0,71 (v_c/v_o)^{9/4}}{1 - (2,84 v_c/v_o)^{3/2}}, \quad (10)$$

Существенно, что при  $v_c$  в 1,5-2 раза превышающей минимальную скорость инжектированных ионов<sup>x)</sup>

$$v_* = 2,84 v_c, \quad (II)$$

при которой еще возможна стабилизация плашущимися ионами ( $Q_o \rightarrow \infty$  при  $v_c \rightarrow v_*$ ) мощность инжекции, найденная из соотношения (10), уменьшается с увеличением  $v_c$  значительно быстрее ( $Q_o \sim v_c^{-9/4}$ ), чем это следует из расчета, сделанного в работе [I] ( $Q_o \sim v_c^{-3/4}$ ). График (10) и график соответствующей зависимости

$$\left| \frac{Q_o}{Q_c} \right|^{[1]} = \frac{0,022}{(v_c/3,81 v_c)^{3/4} - 1}, \quad (12)$$

полученной в [I], приведены на рис.2. Сравнение (II) и (12) показывает, что минимальную скорость инжектированных ионов можно снизить в 1,35 раза, а энергию инжекции  $E_o$ , следовательно, в 1,8 раза.

#### 4. ДОПОЛНИТЕЛЬНОЕ СНИЖЕНИЕ МИНИМАЛЬНОЙ ЭНЕРГИИ ИНЖЕКЦИИ

Поскольку минимальная энергия инжекции остается все еще очень высокой, желательно найти способ её дополнительного снижения. Этого можно добиться путем перехода к системе двух пробкотронов – одного длинного, а другого короткого (но такого, что параксиальное приближение в нем еще применимо). Будем считать,

<sup>x)</sup>Отметим, что при  $v_c = v_*$  угловой разброс действительно мал:  $\Delta \theta_0 = 0,17$ . Это, с одной стороны, оправдывает возможность использования формулы (5), и, с другой стороны, удержания члена с  $\Delta \theta_0$  в знаменателе формулы (7).

что наклонная инжекция ведется только в длинный пробкотрон, причем угол инжекции  $\Theta_0$  соответствует остановке быстрых ионов в максимуме магнитного поля в пробке, разделяющей два пробкотрона (1 на рис.3). В таких условиях в короткий пробкотрон могут проникать только те из быстрых ионов, пич-угол которых уменьшился по сравнению с  $\Theta_0$  (вследствие рассеяния). При этом функция распределения быстрых частиц по углу в коротком пробкотроне будет иметь вид, показанный сплошной линией на рис.4, что обеспечивает существование отрезка с отрицательными значениями функции  $g(\alpha)$  даже при больших значениях  $\Delta\theta_0$  (т.е. при невысоких энергиях инжекции). Появление же такого отрезка позволяет стабилизировать желобковую неустойчивость путем создания участка с резко нарастающим магнитным полем во внешней пробке короткого пробкотрона (2 на рис.3).

Разумеется, столкновения в коротком пробкотроне будут приводить к размытию правой границы функции распределения быстрых частиц на рис.4 и к уменьшению стабилизирующего эффекта. Чтобы воспрепятствовать этому процессу, следует включить в коротком пробкотроне некоторый механизм "откачки" захваченных в него быстрых частиц. Лучше всего здесь подходит механизм "дрейфовой" откачки [5], связанный с использованием малого аксиально-несимметричного возмущения магнитного поля, колеблющегося с частотой, близкой к частоте дрейфового обращения быстрых частиц вокруг магнитной оси. Этот способ откачки хорош тем, что, вследствие сильного отличия дрейфовых частот трех популяций ионов - быстрых захваченных, быстрых незахваченных (т.е. быстрых ионов с  $\theta < \Theta_0$ ) и медленных, - можно добиться избирательной откачки первых без потерь вторых и третьих.

Время существенного (на величину порядка  $\Delta\theta_0$ ) размытия правой границы функции распределения быстрых частиц по порядку величины равно времени рассеяния этих частиц на угол (совпадающему по порядку величины со временем их торможения на электронах  $\tau_{ei}$ ). Поэтому характерное "время откачки" должно удовлетворять условию

$$\tau^* \ll \tau_{ei} \quad (13)$$

При условии (13) ширина правой границы пика на рис.4 может быть оценена по формуле

$$\Delta\theta^* \sim \Delta\theta_0 \sqrt{\tau^*/\tau_{ei}}, \quad (14)$$

а мощность  $Q^*$ , теряемая из системы с откачиваемыми частицами - по формуле

$$Q^* \sim \frac{\Delta\theta_0}{\Delta\theta^*} \frac{V^*}{V} Q, \quad (15)$$

где  $V^*$  - объем короткого пробкотрона. Для того, чтобы откачка частиц из короткого пробкотрона не приводила к существенному уменьшению числа быстрых частиц в системе, должно быть выполнено условие  $Q^* \leq Q_0$ , что ограничивает допустимое время откачки снизу:

$$\tau^* \geq \tau_{ei} \left( \frac{V^*}{V} \right)^2. \quad (16)$$

Соответственно, для минимального достижимого значения  $\Delta\theta^*$  имеем оценку:

$$\Delta\theta^* \sim \Delta\theta \frac{V^*}{V}.$$

Таким образом, при достаточно малом объеме короткого пробкотрона действительно можно существенно увеличить крутизну правого склона углового распределения быстрых частиц и, тем самым, снизить энергию инжекции до значений  $E_0 \approx Mv_c^2/2$  и даже ниже.



Рис. 2. 1 - График зависимости (10);  
2 - график зависимости (12), полученный в работе [1].

ЧТО ВЫСОКАЯ ЧИСЛЕННОСТЬ ГЛАВНОЕ ПОДРОБНОСТЬ  
— ИМПОРТЫ ТЕХНОЛОГИИ О ИМПОРТЕ ВЫСОКИХ  
ПРЕДУМЕЩНОСТИ САМЫЕ БЫСТРЫЕ  
ЛИТЕРАТУРА:

1. Hinton F.L., Rosenbluth M.N. - Nuclear Fusion, 1982, v.22, No 12, p.1547
2. Rosenbluth M.N., Longmire C. - Ann. Phys., 1957, v.1, p.120.
3. Рютов Д.Д., Ступаков Г.В. - В кн.: Вопросы теории плазмы. Вып. I3 /Под ред. Кадомцева Б.Б.: Атомиздат, 1983, с.74.
4. Котельников И.А., Рютов Д.Д. Физика плазмы, II, II55, 1985.
5. Baldwin D. - Proc. of the 1983 Varenna School of Plasma Physics, v.1, p.109.

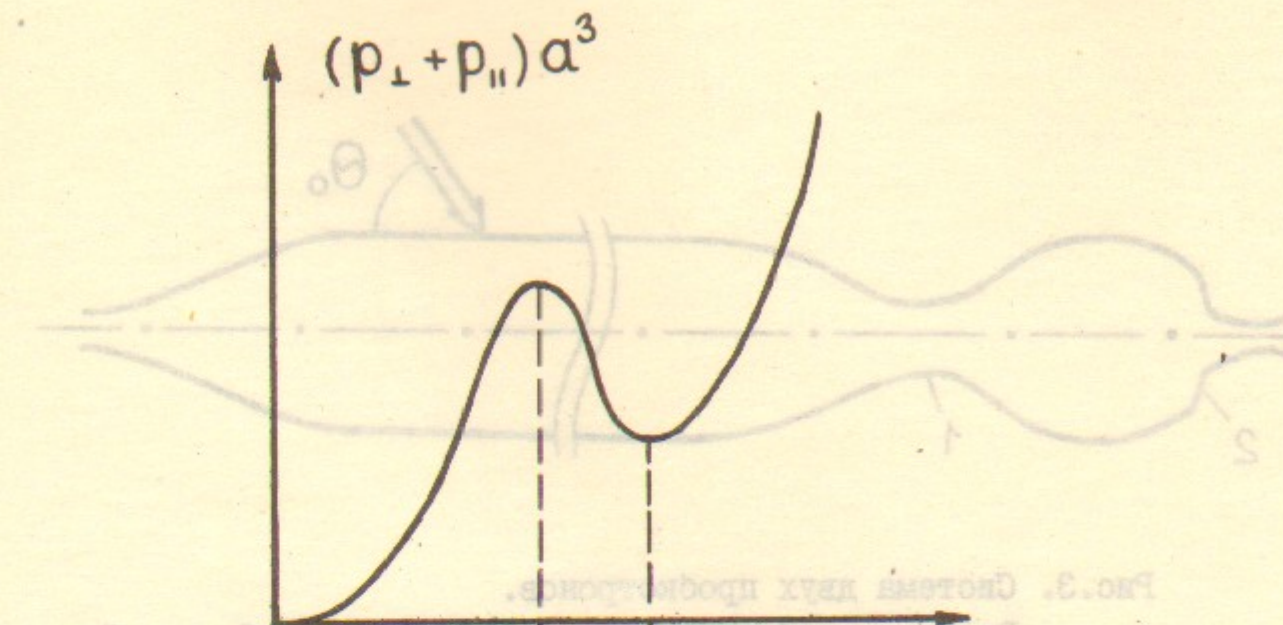


Рис.1. Качественный вид функции  $(p_{\perp} + p_{\parallel})a^3$  при выполнении критерия (4).

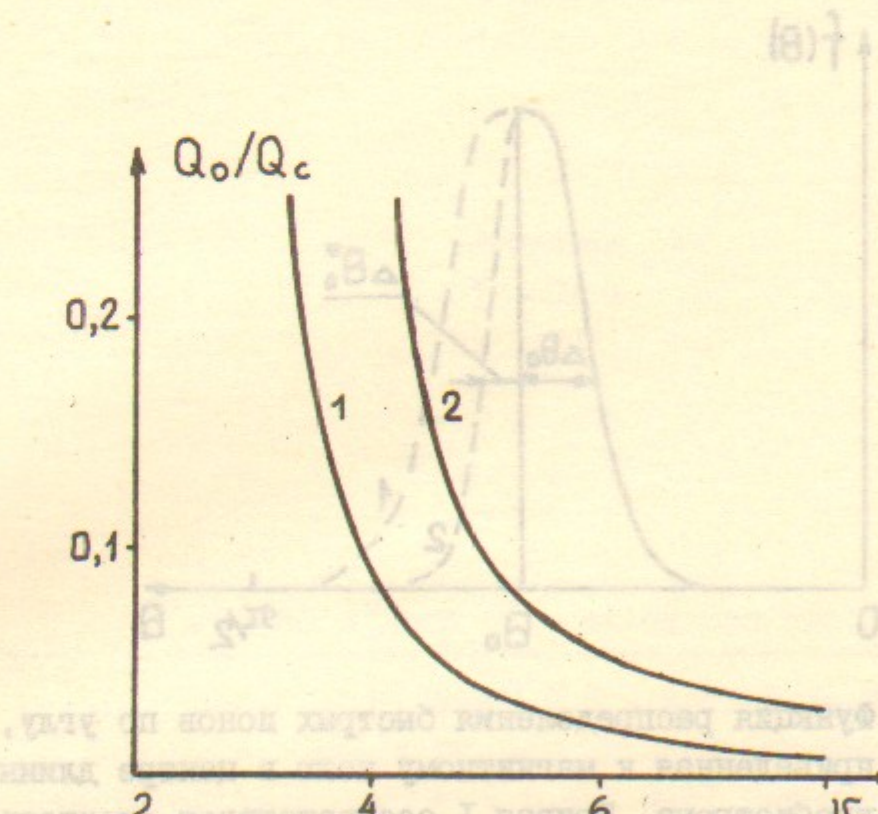


Рис.2. 1 - График зависимости (I0);  
2 - график зависимости (I2), полученной в работе [I].

При условии (4) вид кривой приведен на рис.1 можно бить схожим по форме.

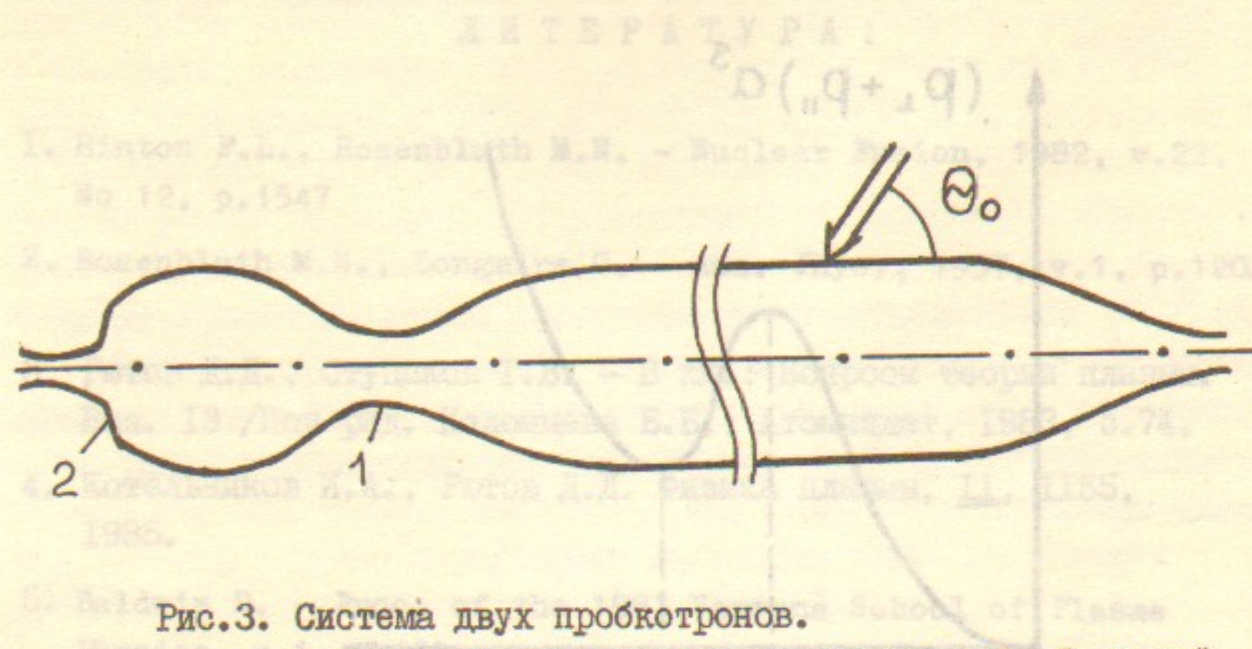


Рис.3. Система двух пробкотронов.  
Внешние пробы сильнее промежуточной. Стрелкой показана инъекция быстрых частиц. Угол наклона силовых линий к оси системы дан не в масштабе (в действительности он меньше).  
(a) диаграмма излучения

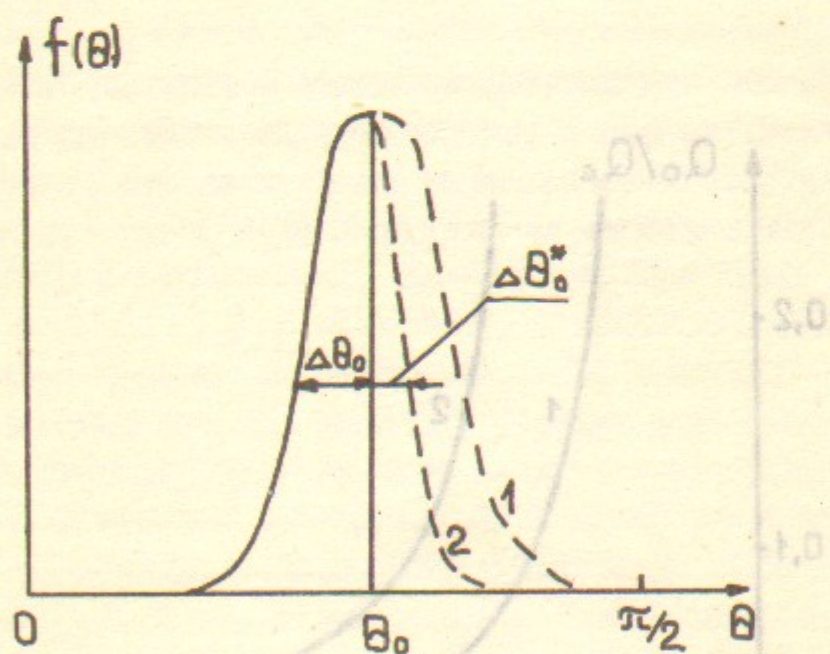


Рис.4. Функция распределения быстрых ионов по углу, приведенная к магнитному полю в центре длинного пробкотрона. Кривая 1 соответствует отсутствию откачки, кривая 2 - откачке, время которой удовлетворяет условиям (13) и (16).

в. Бородинский, Д.Д. - Известия АН СССР, Серия физическая, 1955, № 12, стр. 1547.

Бородинский Д.Д., Бородинская Т.А., Бородинский А.А.

ПРИЧИНОМЕСЯ КИРОВОМУ ВЛИЯНИЮ  
ЗАГРЯЗНЕНИЯ ПОЛЯРНОГО ПОЛЯРИЗАТОРА  
В МАГНИТНОМ РЕГИОНЕ

тижнен  
16-88 №

в. Бородинский - магнитное поле

Бородинский Д.Д. - Известия АН СССР, Серия физическая, 1955, № 12, стр. 1547.

Приложение к журналу "Известия АН СССР", 1955, № 12, стр. 1547.



Рис. 3. Решение задачи о стабилизации

И.А.Котельников, Г.В.Росляков, Д.Д.Рютов

для стабилизации винтовых волн в ловушке. Угол наклона  
одной из волнистых линий винтовой волны в масштабе

СТАБИЛИЗАЦИЯ ЖЕЛОБКОВЫХ ВОЗМУЩЕНИЙ  
В ОСЕСИММЕТРИЧНОЙ ОТКРЫТОЙ ЛОВУШКЕ  
С ПЛЕЩУЩИМИСЯ ИОНАМИ

Препринт  
№ 86- ЗI

Работа поступила - 10 ноября 1985 г.

Ответственный за выпуск - С.Г.Попов

Подписано к печати 3.02-1986 г. МН II650

Формат бумаги 60x90 I/16 Усл.0,9 печ.л., 0,8 учетно-изд.л.

Тираж 290 экз. Бесплатно. Заказ №3I.

Ротапринт ИЯФ СО АН СССР, г.Новосибирск, 90